

# 重力双対を持つ2次元共形場 理論における分離クエンチ

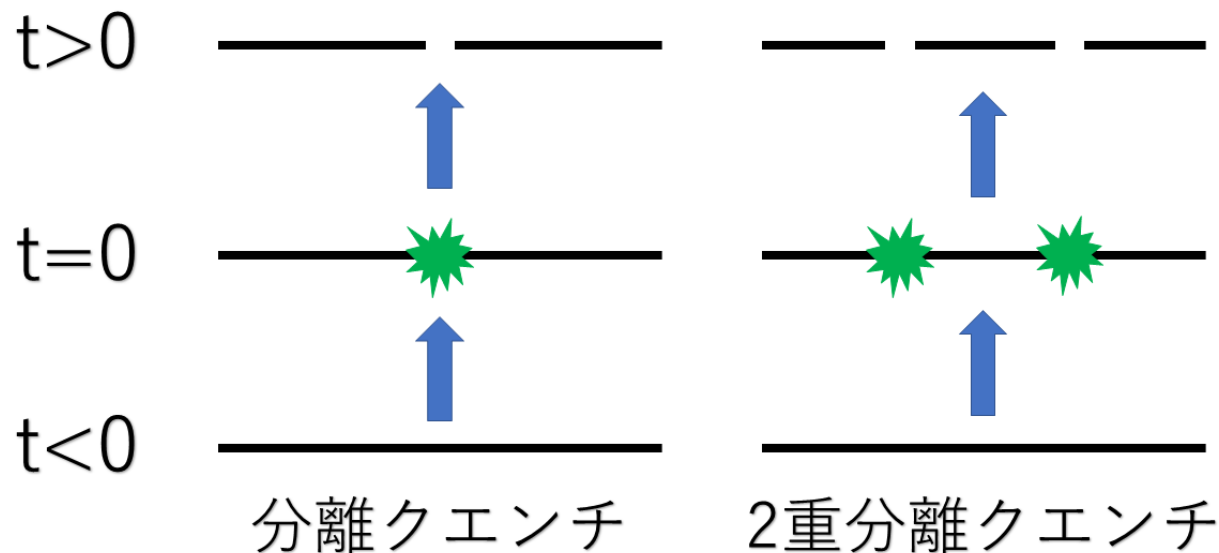
基礎物理学研究所 素粒子論研究室

島地哲平

- ① 島地, T.Takayanagi, Z. Wei, *JHEP*, 2019.
  - ② P.Caputa, T.Numasawa, 島地, T.Takayanagi, Z.Wei, *JHEP*, 2019.
- に基づく

# 導入：分離クエンチとは？

- 1次元量子系の、ある点での相互作用を時刻  $t = 0$  で瞬時に切ること
- 冷却原子気体を用いた実験 (M.Gringer et al., Science 2012)



→ 孤立量子系の熱平衡化を実験的・理論的に調べることができる

# 内容

2次元共形場理論の真空を分離クエンチして、エンタングルメントエントロピー(EE)の時間発展を調べた

→臨界点上の量子系の熱平衡化の理解につながる

# 結果

- ① 重力双対をもつ共形場理論での急速な緩和時間を確認した
- ② 反ドジッター時空の重力の効果を用いて、EEについてのある不等式を予想した

# 内容

2次元共形場理論の真空を分離クエンチして、エンタングルメントエントロピー(EE)の時間発展を調べた

→臨界点上の量子系の熱平衡化の理解につながる

# 結果

- ① 重力双対をもつ共形場理論での急速な緩和時間を確認した
- ② 反ドジッター時空の重力の効果を用いて、EEについてのある不等式を予想した

# 用語: エンタングルメントエントロピー(EE)とは?



$$\rho_A = \text{tr}_B \rho$$

$$\text{EE} : S_A = -\text{tr}_A(\rho_A \log \rho_A)$$

空間を2つの領域A,Bに分ける。全体の密度行列  $\rho$  をBでトレースしてできるAの密度行列  $\rho_A$  のエントロピーをエンタングルメントエントロピー(EE)という

- 非平衡量子系でのエントロピーを定義する量
- EEの下限を与える2-Renyiエントロピーを測る実験(R. Islam et al., Nature 2015)

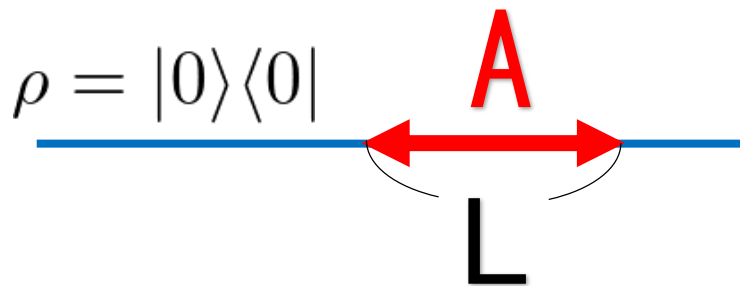
# 用語: 2次元共形場理論(CFT)とは？

- 空間1次元 + 時間1次元の、スケール不変な場の理論  
→ 臨界点上の1次元量子系を記述する
- 中心電荷  $c$  という、系の自由度を表すパラメータを持つ  
例) massless自由ディラック場 →  $c = 1$   
臨界イジングモデル →  $c = 1/2$

## 2次元CFTの真空のEE

$$S_A^{\text{vac}} = \frac{c}{3} \log \frac{L}{\epsilon}$$

( $\epsilon$ : UVカットオフ)



# 用語: 重力双対をもつ2次元CFTとは？

3次元反ドジッター(AdS)時空上の場の物理量に一致する物理量をもつような、特殊なクラスの2次元CFTのこと

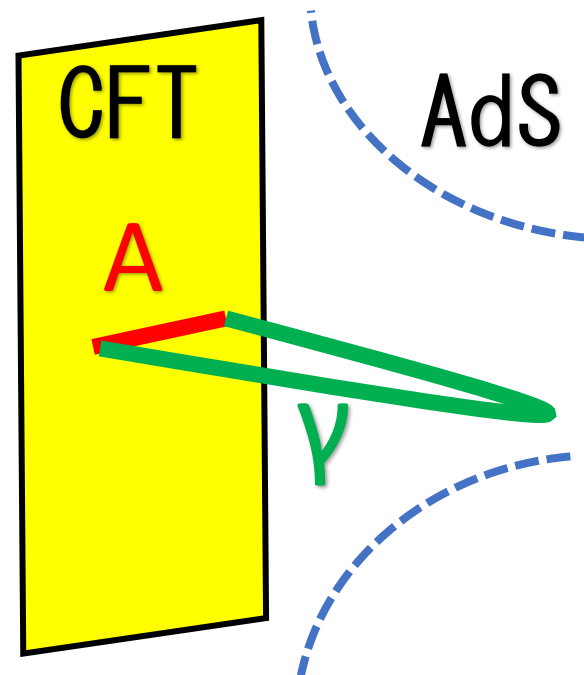
→cf. AdS/CFT対応

$c \gg 1$  (必要条件)

## 笠-高柳公式

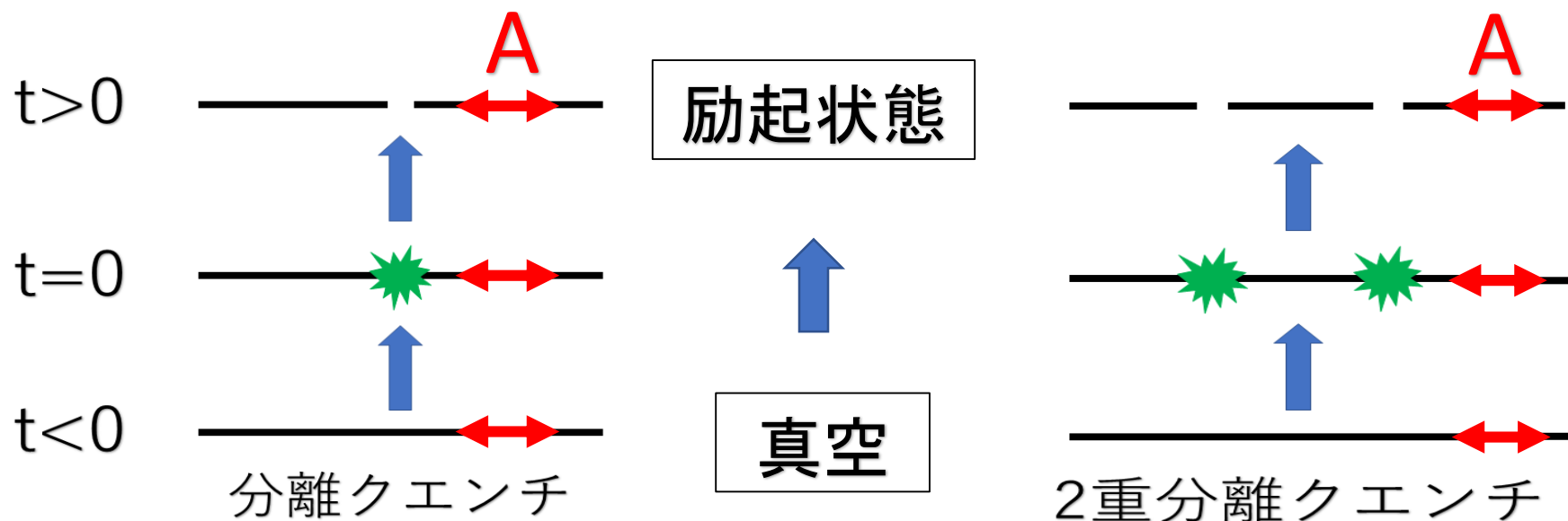
「重力双対をもつCFTの真空のEE  
= 測地線の長さ /  $4G$ 」

$$S_A^{\text{vac}} = \frac{c}{3} \log \frac{L}{\epsilon} = \min \left( \frac{\gamma \text{の長さ}}{4G} \right)$$



# 内容

2次元共形場理論の真空を分離クエンチして、エンタングルメントエントロピーの時間発展を調べた



$$S_A^{\text{single}}(t) = \Delta S_A^{\text{single}}(t) + S_A^{\text{vac}}$$

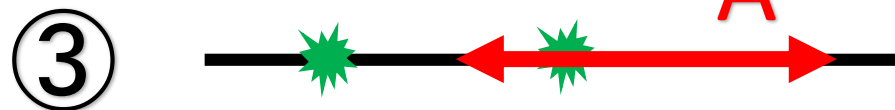
$$S_A^{\text{double}}(t) = \Delta S_A^{\text{double}}(t) + S_A^{\text{vac}}$$



# 部分系Aの取り方

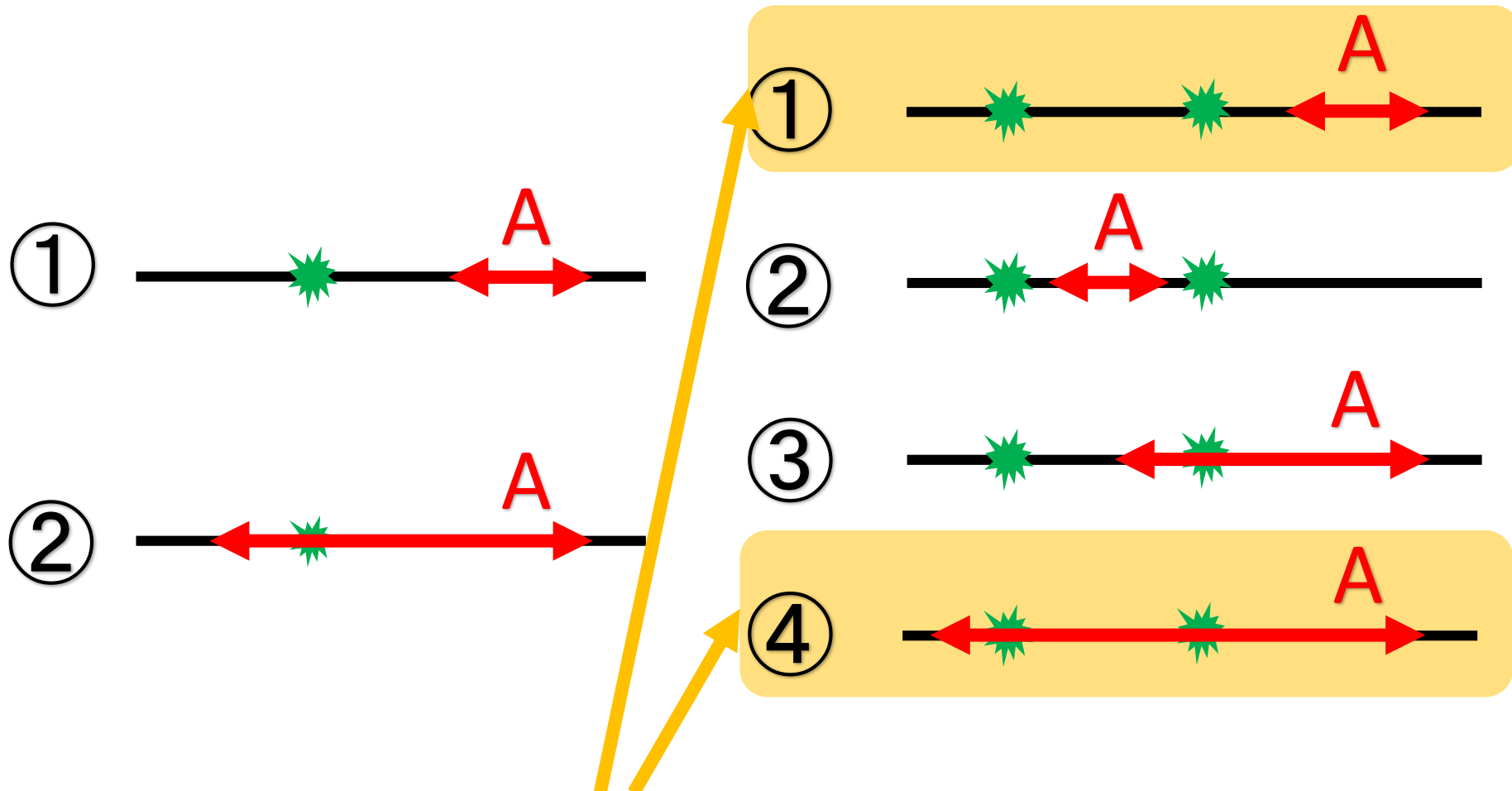


分離クエンチ



2重分離クエンチ

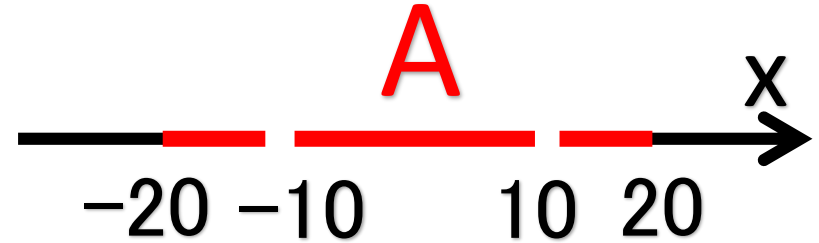
# 部分系Aの取り方



今回は特に、2重分離の①,④を考える

## ④の結果

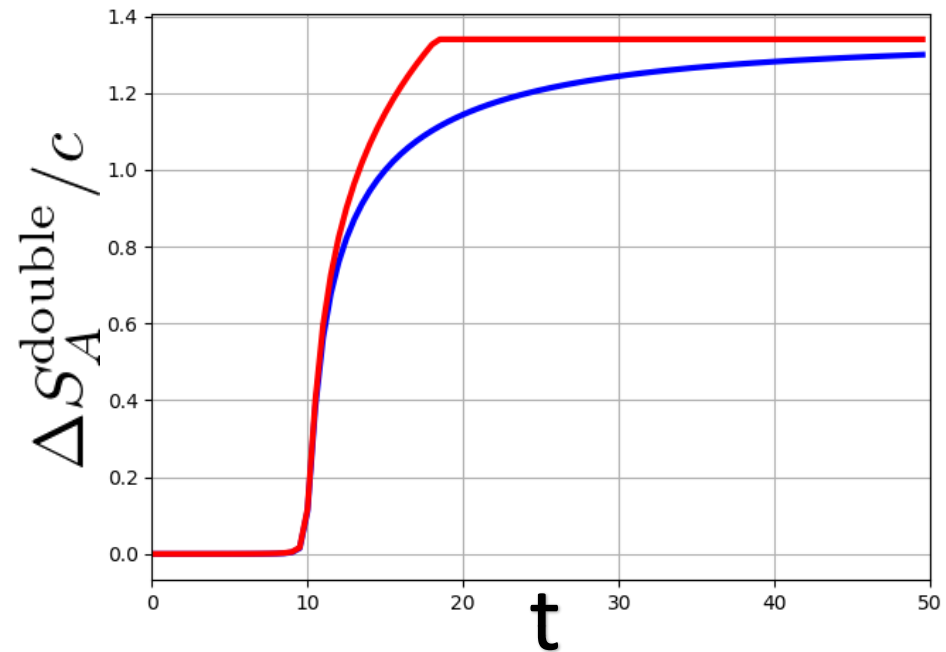
$X = \pm 10$ で分離する2重分離  
クエンチの $A=[-20,20]$ でのEE



青線: massless自由ディラック場

赤線: 重力双対をもつCFT

→重力双対をもつCFTは  
ディラック場に比べて  
急激に緩和する

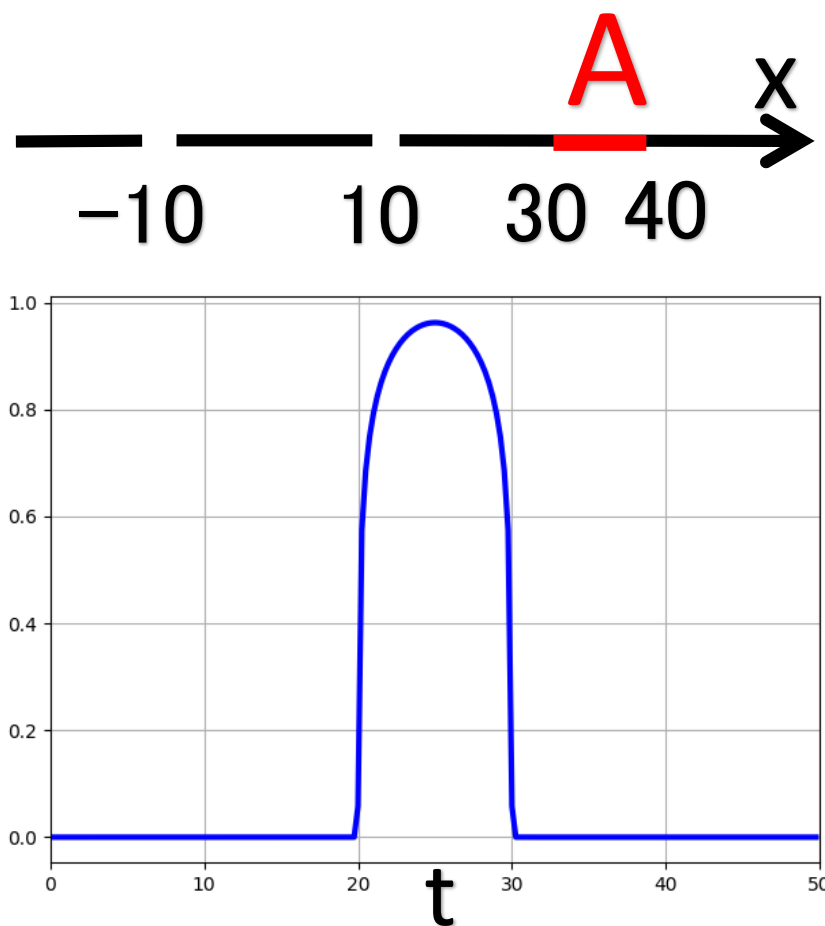


(cf.重力双対をもつCFTは最も強いカオス性をもつ  
(Maldacena, Shenker, Stanford, 2015))

# ①の結果

重力双対をもつCFT を  
 $X = \pm 10$ で分離する2重分離  
クエンチの $A = [30, 40]$ でのEE

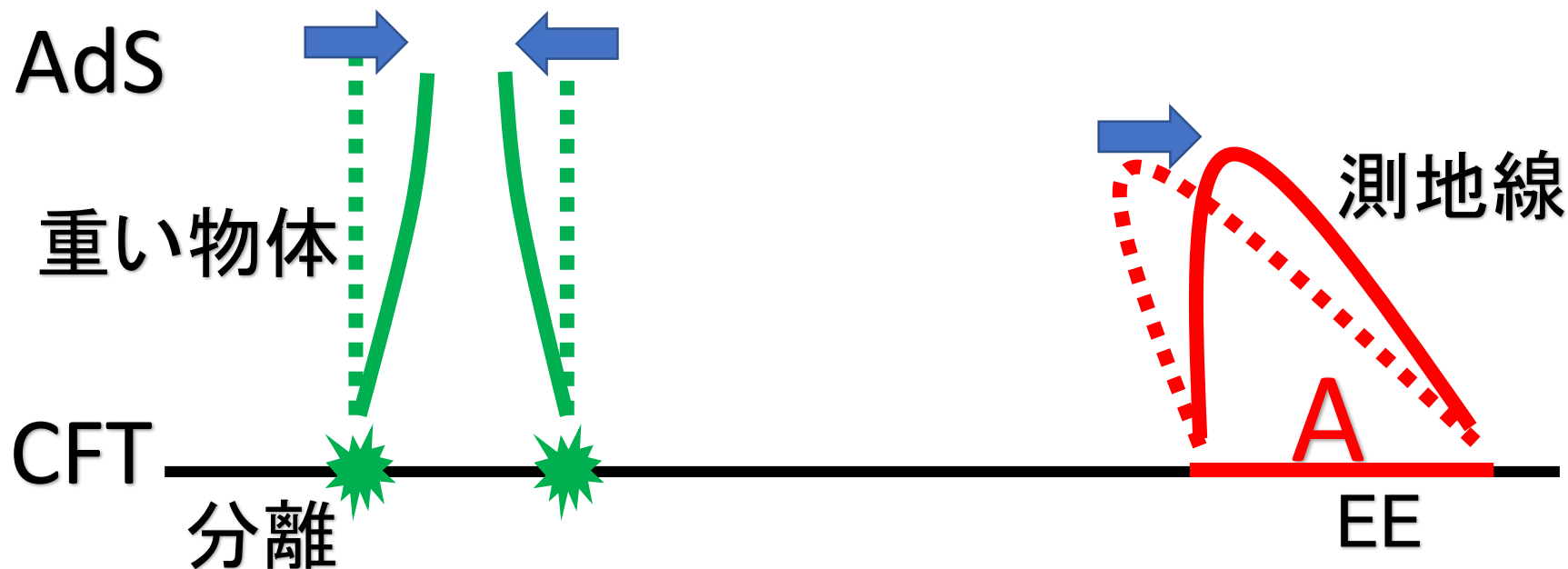
青線: 重力双対をもつCFT



→「分離した」情報が光速で  
伝播し、EEがそれをキャッチする  
（“準粒子描像” Calabrese, Cardy 2014）

# ①の設定の重力双対の予想図

CFTの2つの分離 = AdSでの2つの重い物体  
CFTのEE = AdSでの測地線の長さ



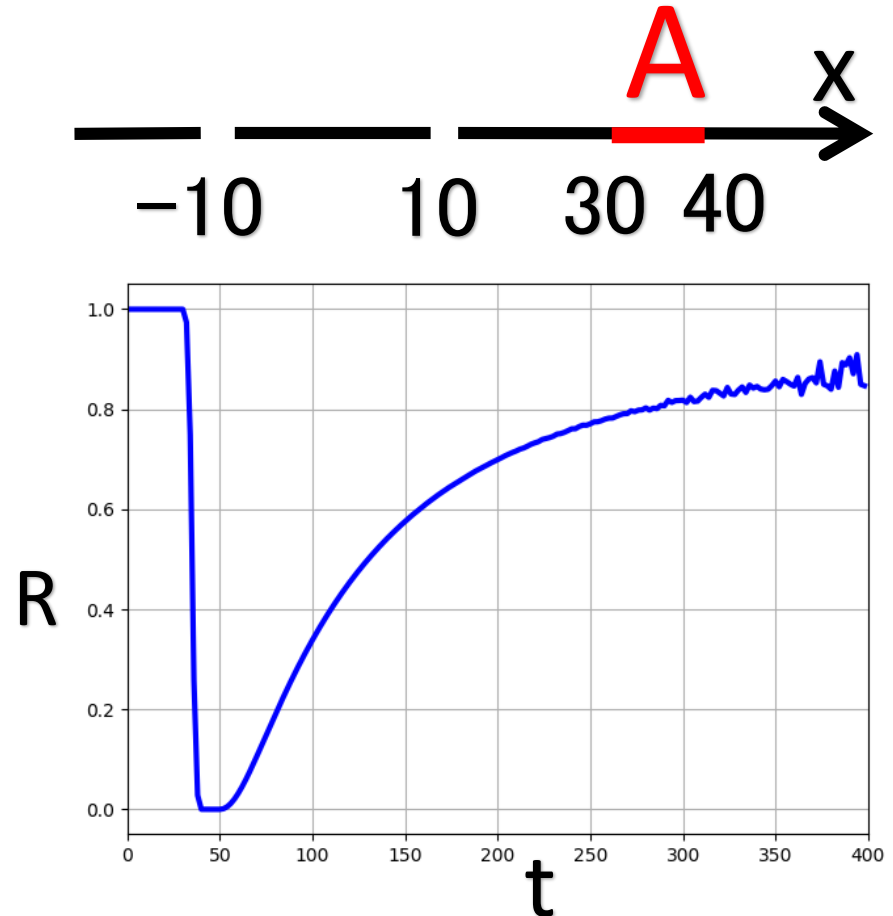
重い物体が引き合うことで、測地線はより短くなるはず  
→  $\Delta S_A^{\text{double}}(t) - (\Delta S_{A,+}^{\text{single}}(t) + \Delta S_{A,-}^{\text{single}}(t)) < 0$  を予想

$$\Delta S_A^{\text{double}}(t) - (\Delta S_{A,+}^{\text{single}}(t) + \Delta S_{A,-}^{\text{single}}(t)) < 0 \text{ の予想}$$

同じ設定で

$$R = \frac{\Delta S_A^{\text{double}}}{\Delta S_{A,+}^{\text{single}} + \Delta S_{A,-}^{\text{single}}}$$

をプロットする

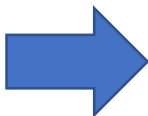


→Aの位置を様々な  
変化させて検証

→Aが分離点から十分離れていれば  $R < 1$  が成立

# まとめ

2次元CFTの真空を分離クエンチしたときの  
エンタングルメントエントロピーの時間発展を調べた

- 
- 重力双対をもつCFTでの急速な緩和時間を確認した
    - 重力双対をもつCFTのカオス性の例
  - 反ドジッター時空の重力の効果を用いて、EEについての不等式を予想した
    - AdS/CFT対応の検証

## 今後の課題

強相関係や、AdS/CFTへの応用？ 高次元？

補足



# 境界条件について

- 共形境界条件を用いた。共形対称性を最大限保つ境界条件。

境界を持った 2 次元 Riemann 多様体  $\Sigma$  上の共形場理論を考える。境界  $\partial\Sigma$  の単位接線・法線ベクトルを  $t, n$  で書くとき、次の境界条件は共形境界条件 (conformal boundary condition) と呼ばれる [64]。

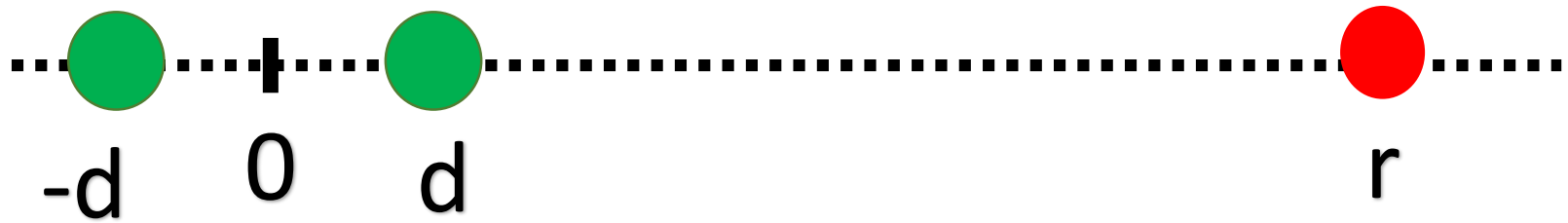
$$T_{\mu\nu}t^\mu n^\nu = 0 \text{ on } \partial\Sigma \quad (2.76)$$

複素座標では  $n = it, \bar{n} = -i\bar{t}$  であり、上の共形境界条件は

$$T_{zz} = T_{\bar{z}\bar{z}} \text{ on } \partial\Sigma \quad (2.77)$$

と書ける。共形境界条件を課した、境界付き多様体上の共形場理論を境界共形場理論 (boundary conformal field theory, BCFT) という。

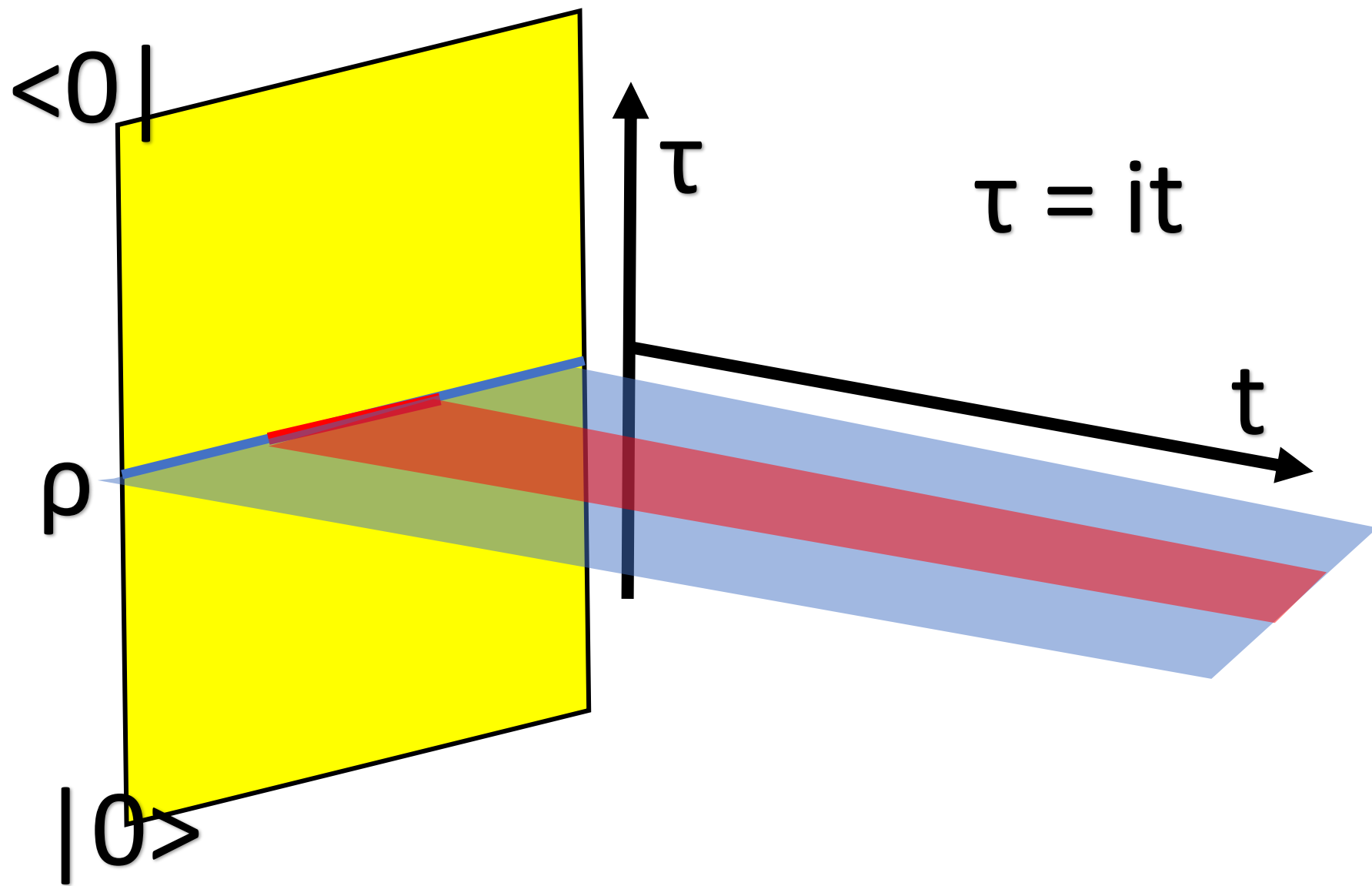
# 重力のけいさん



$$|F| = \frac{1}{r+d} + \frac{1}{r-d} = \frac{2r}{r^2 - d^2}$$

2つの物体が近づくほうが、より重力が小さくなる

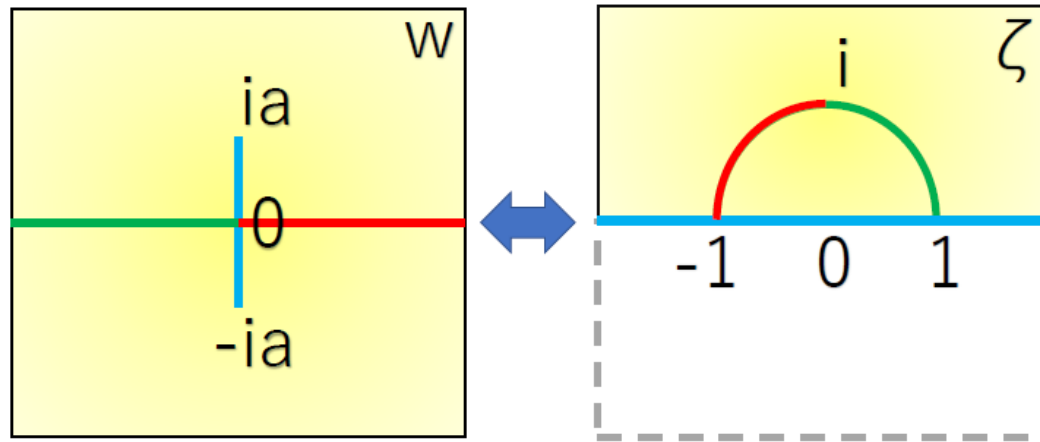
# クエンチとレプリカ法



# 分離クエンチしたディラック場のEE(1)

分離クエンチの虚時間でのセットアップを上半平面に移す

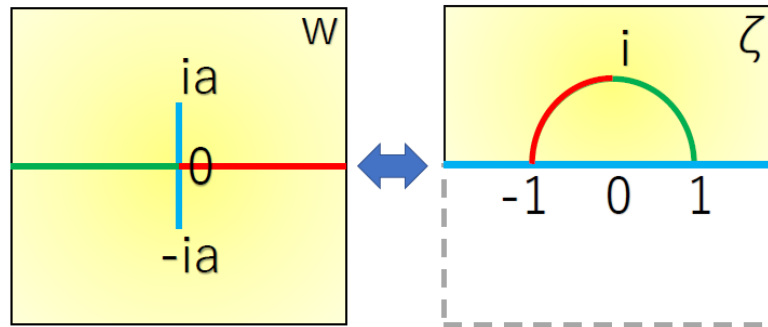
$$\zeta = i\sqrt{\frac{w + ia}{w - ia}} \equiv f(w)$$



# 分離クエンチしたディラック場のEE(2)

分離クエンチの虚時間でのセットアップを上半平面に移す

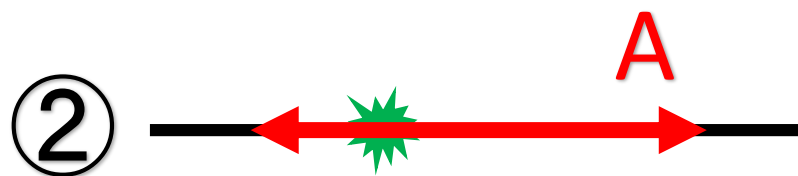
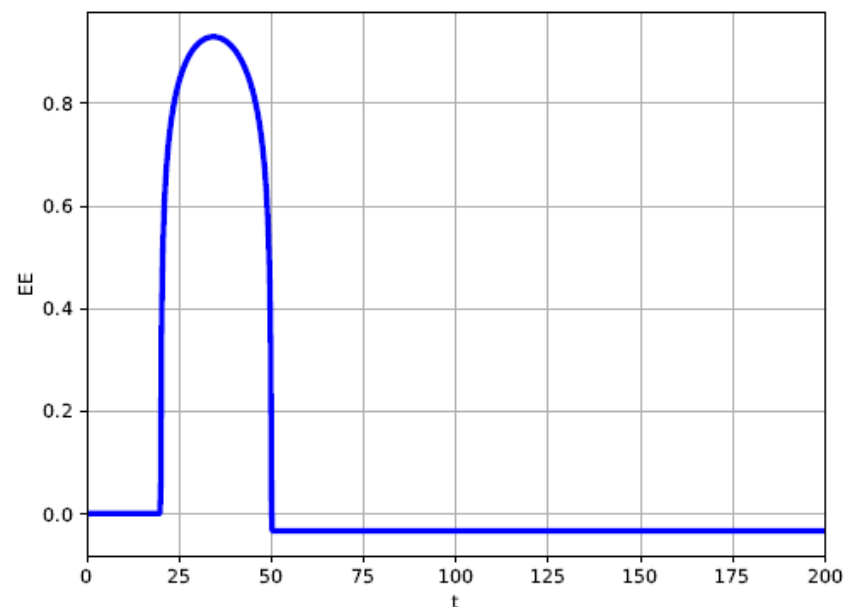
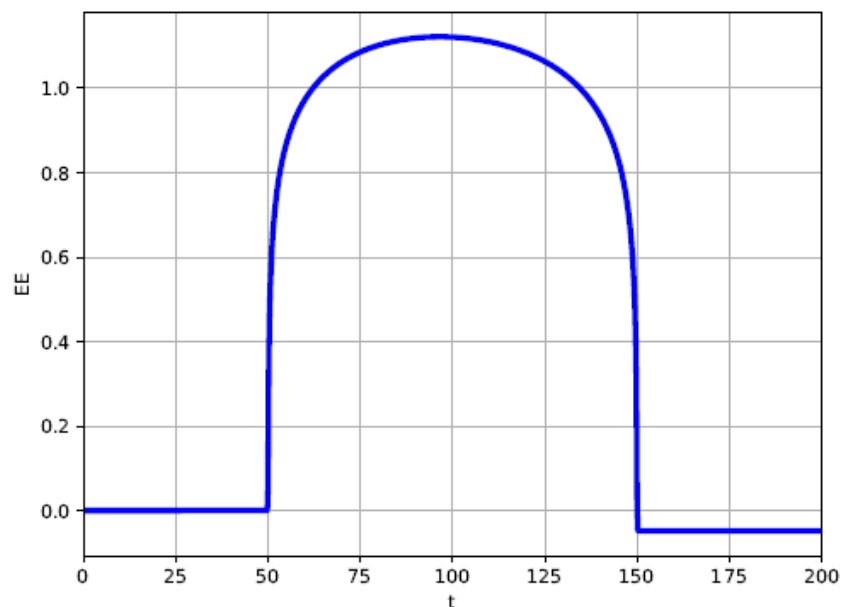
→ 2重化のトリックを用いて、EEを計算する。



$$S_A = -\frac{1}{6} \log(F \epsilon^2)$$

$$F = \left| \frac{d\zeta_1}{dw_1} \right| \left| \frac{d\zeta_2}{dw_2} \right| \frac{(\zeta_1 - \bar{\zeta}_2)(\bar{\zeta}_1 - \zeta_2)}{|\zeta_1 - \bar{\zeta}_1| |\zeta_2 - \bar{\zeta}_2| (\zeta_1 - \zeta_2)(\bar{\zeta}_1 - \bar{\zeta}_2)}$$

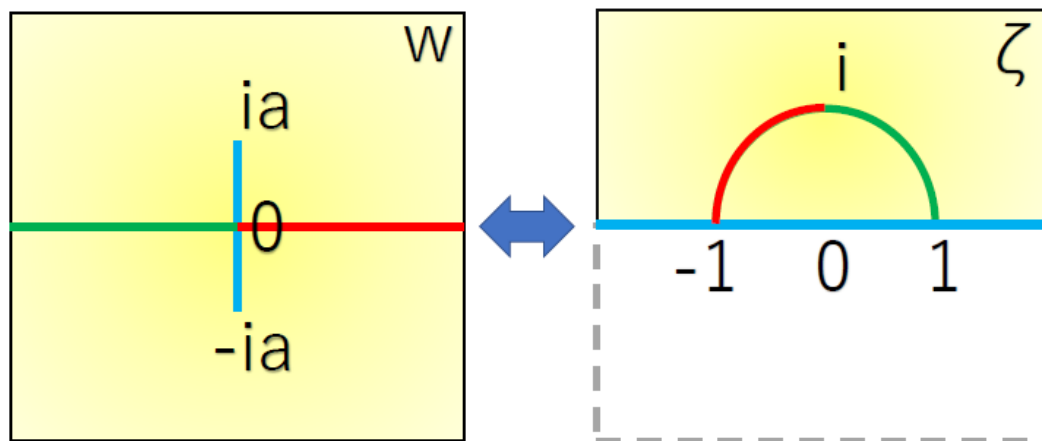
$(1/3) \log(L/\epsilon)$  の差  $S_A(t) - S_{\text{vac}}$  を計算しており、左図は部分系  $[50, 150]$ , 右図は  $[-20, 50]$  にとった場合である。この結果は [38] で予想されたような、準粒子描像に当てはまっている。



# 分離クエンチした重力双対をもつCFT2のEE(1)

分離クエンチの虚時間でのセットアップを上半平面に移す

$$\zeta = i\sqrt{\frac{w + ia}{w - ia}} \equiv f(w)$$



分離クエンチした重力双対をもつCFT2のEE(2)

分離クエンチの虚時間でのセットアップを上半平面に移す

→ AdS/BCFTの処方と笠-高柳公式を用いて、EEを計算する。

$$S_A = \min\{S_A^{con}, S_A^{dis}\}$$

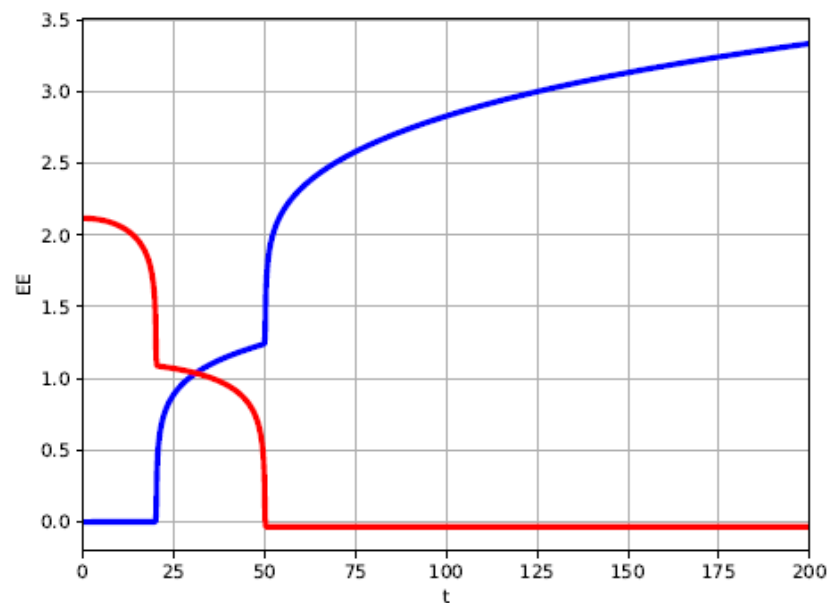
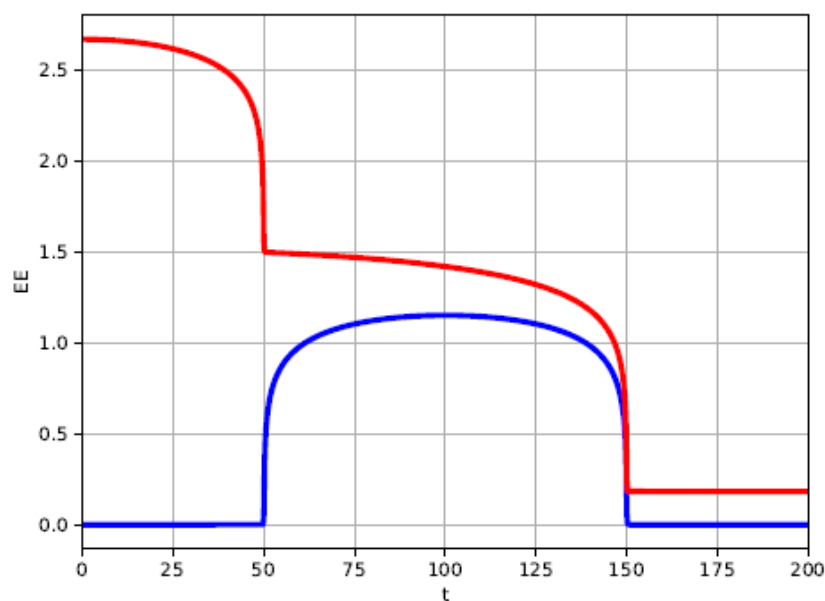
$$S_A^{con} = \frac{c}{6} \log \left( \frac{|f(w_1) - f(w_2)|^2}{\delta_1 \delta_2} \right)$$

$$S_A^{dis} = \frac{c}{6} \log \left( \frac{4(\text{Im } f(w_1))(\text{Im } f(w_2))}{\delta_1 \delta_2} \right)$$

$$\epsilon |f'(w_i)| = \delta_i$$



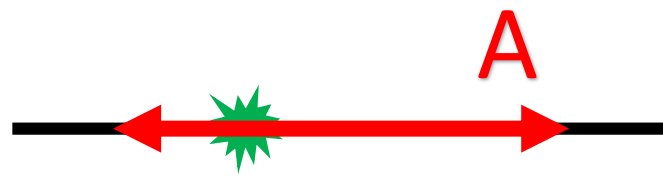
$(c/3) \log(L/\epsilon)$  の差を計算しており、左図は部分系  $[50, 150]$ , 右図は  $[-20, 50]$  にとった場合である。青線が connected geodesic に対応するグラフで、赤線が disconnected geodesic に対応するグラフであり、 $S_A(t)$  は2つの最小値である。この結果も準粒子描像に当てはまっている。



①

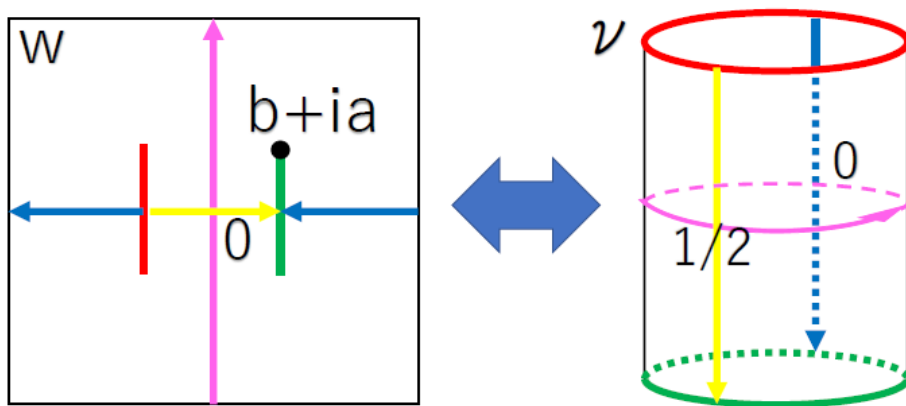


②



# 2重分離クエンチしたディラック場のEE(1)

2重分離クエンチの虚時間でのセットアップを  
円筒座標に移す



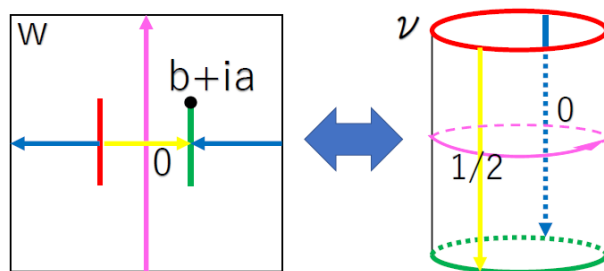
$$w(\nu) = x + i\tau = b \left( 1 + K_{\beta^{-1}}(\nu) + K_{\beta^{-1}} \left( \nu + \frac{i\beta^{-1}}{2} \right) \right) \quad (5.1)$$

$$K_{\beta^{-1}}(\nu) = \frac{1}{\pi i} \frac{\partial}{\partial \nu'} \log \theta_1(\nu', i\beta^{-1}) \Big|_{\nu'=\nu} \quad (5.2)$$

## 2重分離クエンチしたディラック場のEE(2)

2重分離クエンチの虚時間でのセットアップを  
円筒座標に移す

→ 2重化のトリックを用いて、EEを計算する。

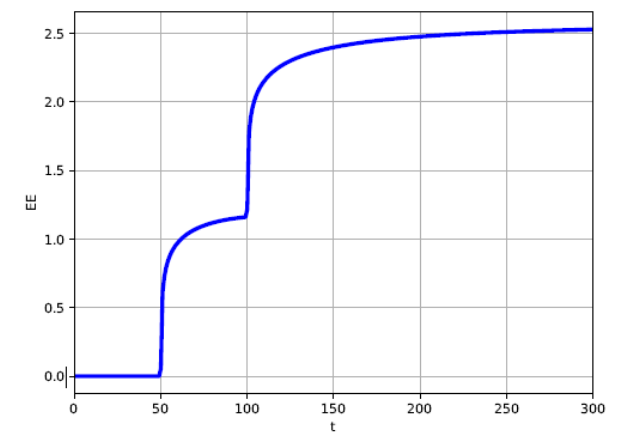
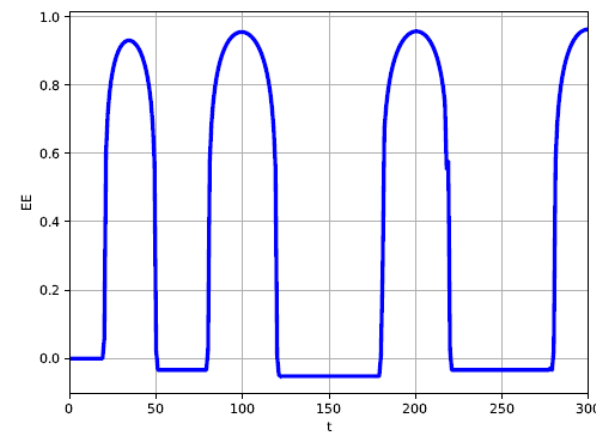
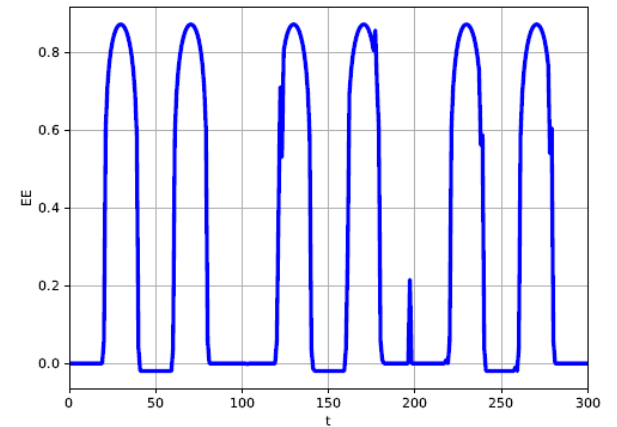
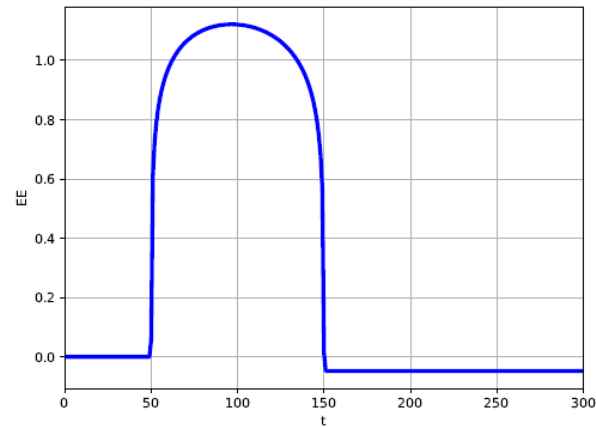


$$S_A = \frac{1}{6} \log\left(\frac{G}{\epsilon^2}\right) \quad (5.5)$$

$$G = \frac{1}{(2\pi)^2} \left| \frac{dw_1}{d\nu_1} \right| \left| \frac{dw_2}{d\nu_2} \right|$$

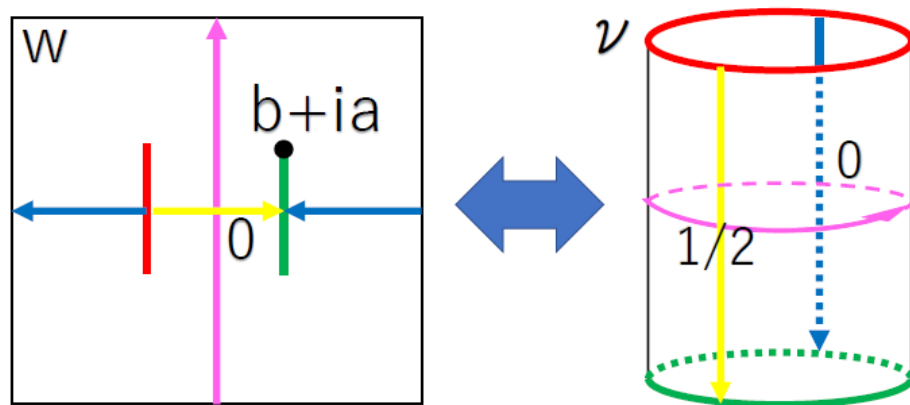
$$\times \frac{\theta_1(\nu_1 - \nu_2 | i\beta^{-1}) \theta_1(\bar{\nu}_1 - \bar{\nu}_2 | i\beta^{-1}) \theta_1\left(\nu_1 - \bar{\nu}_1 + \frac{i\beta^{-1}}{2} | i\beta^{-1}\right) \theta_1\left(\nu_2 - \bar{\nu}_2 + \frac{i\beta^{-1}}{2} | i\beta^{-1}\right)}{\eta(i\beta^{-1})^6 \theta_1\left(\nu_1 - \bar{\nu}_2 + \frac{i\beta^{-1}}{2} | i\beta^{-1}\right) \theta_1\left(\nu_2 - \bar{\nu}_1 + \frac{i\beta^{-1}}{2} | i\beta^{-1}\right)} \quad (5.6)$$

0.05  $\iff \beta^{-1} = 5.28$  で計算しており、左上図は部分系 [100, 200]、右上図は部分系 [10, 30]、左下図は部分系 [30, 100]、右下図は  $[-150, 100]$  にとった場合である。



# 2重分離クエンチした重力双対をもつCFT2のEE(1)

2重分離クエンチの虚時間でのセットアップを  
円筒座標に移す



$$w(\nu) = x + i\tau = b \left( 1 + K_{\beta-1}(\nu) + K_{\beta-1} \left( \nu + \frac{i\beta^{-1}}{2} \right) \right) \quad (5.1)$$

$$K_{\beta-1}(\nu) = \frac{1}{\pi i} \frac{\partial}{\partial \nu'} \log \theta_1(\nu', i\beta^{-1}) \Big|_{\nu'=\nu} \quad (5.2)$$

## 2重分離クエンチした重力双対をもつCFT2のEE(2)

2重分離クエンチの虚時間でのセットアップを  
円筒座標に移す

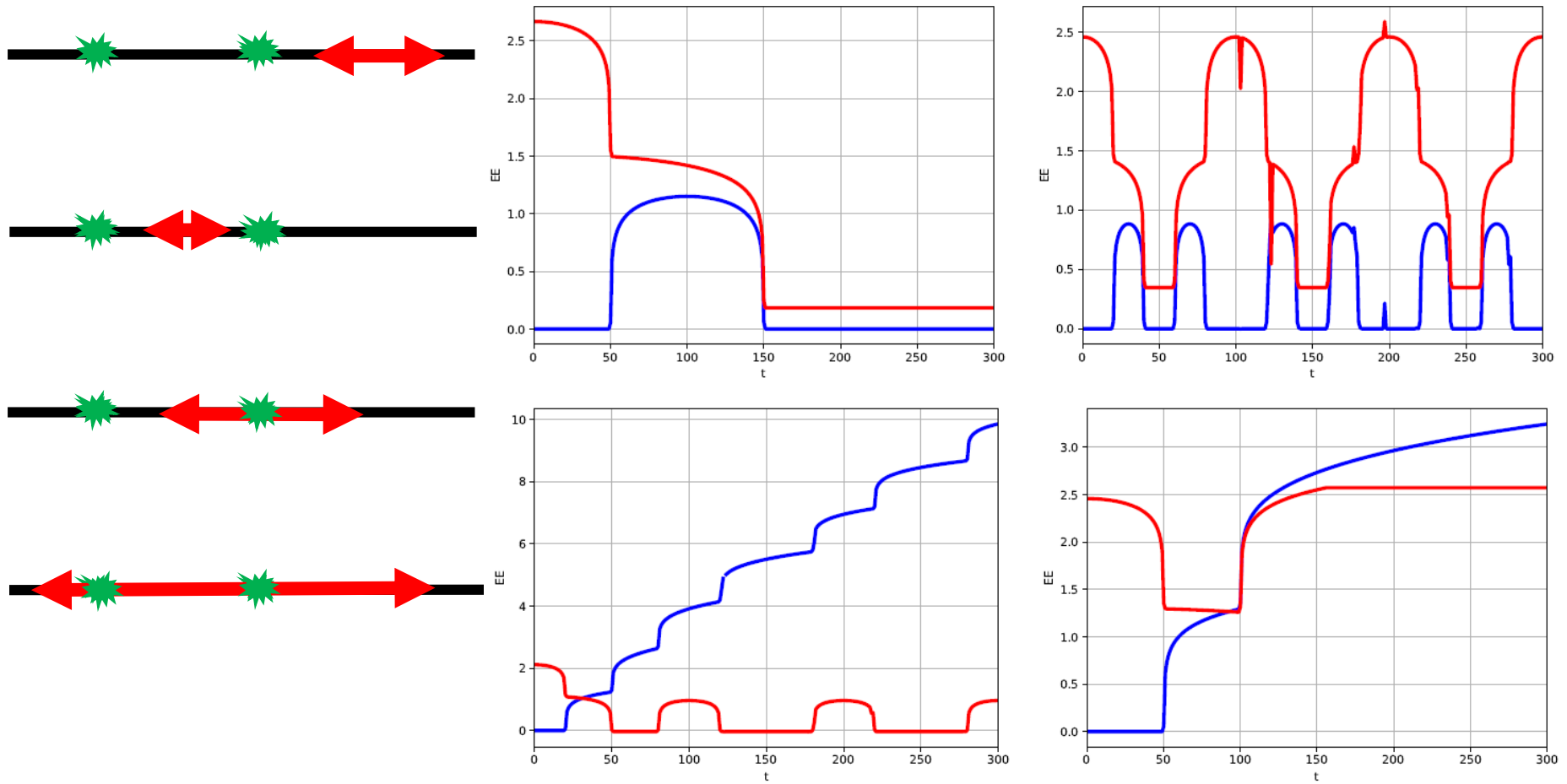
→ AdS/BCFTの処方と笠-高柳公式を用いて、EE  
を計算する。

$$S_A = \min\{S_A^{con}, S_A^{dis}\}$$

$$S_A^{con} = \frac{c}{6} \log \left( \left( \frac{1}{\pi\epsilon} \right)^2 \left| \frac{dw_1}{d\nu_1} \right| \left| \frac{dw_2}{d\nu_2} \right| \sin(\pi(\nu_1 - \nu_2)) \sin(\pi(\bar{\nu}_1 - \bar{\nu}_2)) \right) \quad (5.21)$$

$$S_A^{dis} = \min_{\sigma_1=\pm 1, \sigma_2=\pm 1} \left( \frac{c}{6} \log \frac{1}{\pi\epsilon} \left| \frac{dw_1}{d\nu_1} \right| \sin \left( \pi(\nu_1 - \bar{\nu}_1 + \frac{i\sigma_1\beta^{-1}}{2}) \right) + (1 \leftrightarrow 2) \right. \\ \left. + \frac{1 - \sigma_1\sigma_2}{2} \times \frac{c}{6} \pi \beta^{-1} \right) \quad (5.23)$$

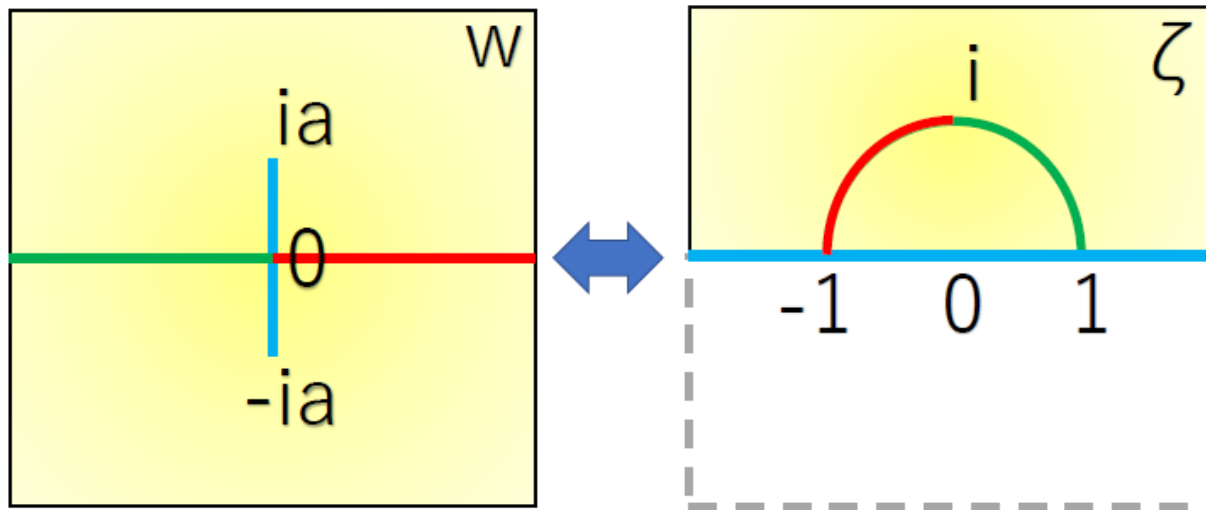
上の計算を数値計算したものがグラフ 5.9 である。 $b = 50, a = 0.05$  で計算しており、左上図は部分系  $[100, 200]$ 、右上図は部分系  $[10, 30]$ 、左下図は部分系  $[30, 100]$ 、右下図は  $[-150, 100]$  にとった場合である。



# Gravity dual の計算式

AdSの描像は 1 重分離クエンチのときのみ計算した  
2 重分離クエンチについては行っていない

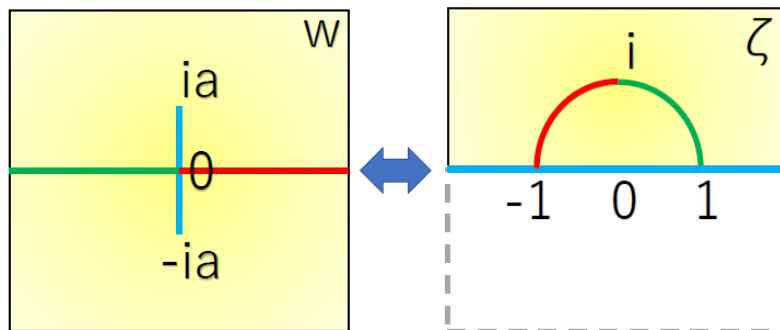
CFTの虚時間でのセットアップは



右の $z$ 座標にPoincare座標が対応すると仮定して $w$ 座標  
の双対を計算



# Gravity dual の計算式



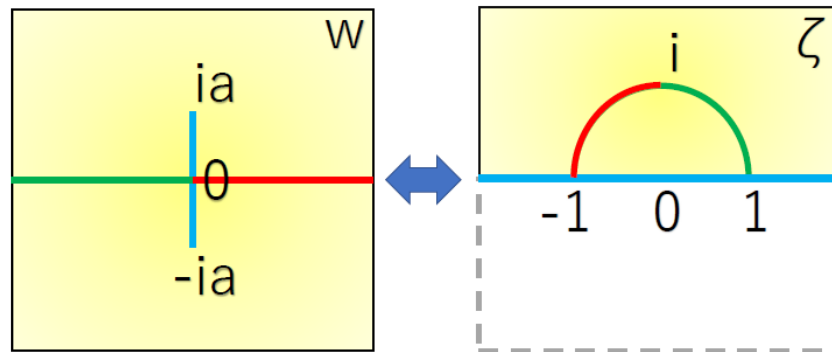
$$ds^2 = R_A^2 \frac{dz_P^2 + dx_P^- dx_P^+}{z_P^2} \quad (2.267)$$

$$x_P^- = f(x^-) - \frac{2z^2 (f')^2 \bar{f}''}{4f' \bar{f}' + z^2 f'' \bar{f}''} \quad (2.268)$$

$$x_P^+ = \bar{f}(x^+) - \frac{2z^2 (\bar{f}')^2 f''}{4f' \bar{f}' + z^2 f'' \bar{f}''} \quad (2.269)$$

$$z_P = \frac{4z (f' \bar{f}')^{3/2}}{4f' \bar{f}' + z^2 f'' \bar{f}''} \quad (2.270)$$

# Gravity dual の計算式



$$ds^2 = \frac{R_A^2}{z^2} dz^2 + 4GR_A T dx^{-2} + 4GR_A \bar{T} dx^{+2} + \left( \frac{R_A^2}{z^2} + 16G^2 z^2 T(x^-) \bar{T} \right) dx^- dx^+ \quad (2.252)$$

$$\frac{4G}{R_A} T(x'^-) = \frac{3(f'')^2 - 2f' f'''}{4f'^2}, \quad \frac{4G}{R_A} \bar{T}(x'^+) = \frac{3(\bar{f}'')^2 - 2\bar{f}' \bar{f}'''}{4\bar{f}'^2} \quad (2.271)$$